

ارائه یک حمله SPA موفق به پیاده‌سازی AES

روی میکروکنترلر PIC

حامد یوسفی^۱، محمود گردشی^۲ و محمد سبزی‌نژاد فراش^۳

^۱دانشکده فنایی دانشگاه جامع امام حسین (ع)، تهران، ایران

^۲دانشکده علوم ریاضی و کامپیوتر دانشگاه تربیت معلم، تهران، ایران

چکیده

در این مقاله یک حمله تحلیل توانی ساده (SPA) به پیاده‌سازی AES (PIC) را معرفی می‌کنیم. این حمله تبدیل مخلوط‌ساز ستونی (MixColumns) را از الگوریتم AES هدف قرار می‌دهد. با استفاده از اطلاعات بدست آمده از سیگنال توان مصرفی حین پردازش داده‌ها در این تبدیل می‌توان فضای کلید را محدود کرد. این حمله می‌تواند فضای جستجوی کلید را بسته به تکرار حمله، به طور دقیق تا یک کلید محدود کند. اساس حمله بر مبنای تشخیص نتیجه یک عمل‌گر شرطی در تبدیل مخلوط‌ساز ستونی با استفاده از اثرهای توان است.

واژگان کلیدی: حملات کانال جانبی، حمله تحلیل توانی ساده، الگوریتم AES، میکروکنترلر PIC.

متفاوتاند و روش‌های گوناگونی برای تقسیم‌بندی آنها وجود دارد. در یک تقسیم‌بندی، آنها را به صورت فعال و غیر فعال در نظر می‌گیرند (Mangard et al., 2007, Mangard, 2004). حملات فعال سعی در به دست آوردن کلید با استفاده از برهمنزدن عملکرد طبیعی سامانه دارند. در یک حمله فعال، ابزار رمزنگاری یا ورودی‌ها و یا محیط، طوری دست‌کاری می‌شود که سامانه دچار رفتاری غیر معمول شود. سپس با تحلیل این رفتار غیر معمول، سعی در بازیابی کلید می‌شود. برای مثال، می‌توان حمله القای خطا^۱ را نام برد که در آن با القای تعمدی خطا در محاسبات و استفاده از نتایج آن به سامانه رمزنگاری حمله می‌کنند. نمونه‌ای از حمله القای خطا روی AES در (Chen and Yen, 2003) ارائه شده است. در مقابل حملات فعال، حملات غیر فعال قرار می‌گیرند که عملکرد سامانه را در حالت عادی زیر نظر قرار می‌دهند و در عملکرد متعارف آن اختلالی ایجاد نمی‌کنند.

حملات را از جنبه دیگر می‌توان به تهاجمی^۲، نیمه تهاجمی^۳ و غیر تهاجمی^۱ تقسیم کرد که خود می‌توانند

۱- مقدمه

تا اواسط دهه ۱۹۹۰، ابزارهای رمزنگاری، به صورت یک جعبه سیاه در نظر گرفته می‌شدند. این ابزارها با گرفتن داده و رودی و با استفاده از کلید مخفی خود، خروجی را تولید می‌کردند. بنابراین حملات با استفاده از متن خوانای شناخته شده، متن رمزی شناخته شده و یا یک زوج متن خوانا و رمزی شناخته شده انجام می‌شد و به نظر نمی‌آمد که هیچ‌گونه اطلاعات اضافه دیگری در دسترس باشد. امروزه مشخص شده که این فرض صحیح نیست. در پیاده‌سازی‌های فیزیکی، همواره خروجی‌های دیگری وجود دارند که باعث نشت اطلاعات از سامانه رمزنگاری می‌شوند که به آن‌ها اطلاعات کانال جانبی گویند. مهاجم با داشتن دسترسی به رمزنگاری و با جمع‌آوری و تحلیل این داده‌ها می‌تواند سامانه رمزنگاری را مورد حمله قرار دهد. به این نوع تحلیل، تحلیل کانال جانبی یا حمله کانال جانبی گویند (Goldack, 2008).

انواع مختلفی از حملات کانال جانبی به سامانه‌های رمزنگاری ارائه شده‌اند که هدف همه این حملات به دست آوردن کلید رمزنگاری است. حملات به سامانه‌های رمزنگاری از نظر هزینه، زمان، تجهیزات و تخصص لازم

¹Fault Induction Attacks

²Invasive

³Semi-Invasive

تهاجمی با تجهیزات بهنسبه ارزان‌تری قابل اجرا بوده و بنابراین یک تهدید جدی برای امنیت ابزارهای رمزگاری هستند. در سال‌های اخیر حملات غیرتهاجمی^۴ غیرفعال بسیار مورد توجه قرار گرفته‌اند. مهم‌ترین این حملات از اطلاعاتی مانند زمان، توان مصرفی ابزار و یا تشبعات الکترومغناطیسی استفاده می‌کنند که به ترتیب حملات زمانی^۵ (Kocher, 1996)، حملات تحلیل توان^۶ (Gandolfi et al, 1999) و حملات الکترومغناطیسی (EM)^۷ (Quisquater and Samyde, 2001, al, 2001, Quisquater and Samyde, 2001) را شامل می‌شوند. حملات غیرتهاجمی فعال نیز وجود دارند که هدف این حملات تریق خطا به سامانه بدون برداشتن پوشش آن است. برای نمونه این خطا می‌تواند به وسیله اختلال^۸ در پالس ساعت، اختلال در توان مصرفی و یا تغییر دمای محیط باشد. در (Whelan et al, 2006) یک جمع‌بندی از این نوع حملات آمده است.

در حملات زمانی از زمان اجرای الگوریتم و مدتی که طول می‌کشد تا سامانه به یک ورودی پاسخ دهد، برای انجام حمله استفاده می‌شود. زمان اجرای یک الگوریتم می‌تواند حاوی اطلاعاتی درباره مقادیر مخفی در رمزگاری باشد. به‌طور معمول برنامه‌نویسان و طراحان الگوریتم سعی در کاهش زمان اجرا و افزایش سرعت دارند. زمان اجرای الگوریتم، به‌ازای ورودی‌های مختلف ممکن است اندکی متفاوت باشد. اگر چنین باشد و زمان اجرای الگوریتم برای ورودی‌های مختلف بدقت ثبت شود، آنگاه با تحلیل آماری می‌توان به جستجوی همبستگی بین اندازه‌گیری‌های مختلف زمان و بعضی بیت‌های کلید پرداخت. ایده استفاده از زمان اجرای الگوریتم ابتدا توسط کوچر^۹ (Kocher, 1996) مطرح شد. در مقاله کوچر روشی توضیح داده شد که در آن از اطلاعات زمانی برای به‌دست آوردن کلید مخفی در یک RSA استفاده شده بود. در (Koeune and Quisquater, 1999) روشی برای شکستن AES با تحلیل زمان آمده است. این حمله با سه‌هزار بار اندازه‌گیری زمان انجام شده است و از اختلاف زمان ایجاد شده در تابع مخلوط‌ساز ستونی^{۱۰} از الگوریتم AES به‌ازای ورودی‌های مختلف استفاده شده است.

ما در این مقاله رمزگننده را با استفاده از تحلیل توان مصرفی مورد حمله قرار می‌دهیم. در حملات تحلیل توان، به دنبال یافتن وابستگی در سیگنال توان مصرفی سخت‌افزار

(Mangard et al, 2007, Mangard, 2004). در حملات تهاجمی با برداشتن درپوش یا پوشش تراشه، سعی در به‌دست آوردن اطلاعات از رمزگننده می‌شود. در این نوع حملات به‌طور اساسی هیچ‌گونه محدودیتی در برخورد با رمزگننده برای بازیابی کلید وجود ندارد. به عنوان مثال با وصل کردن یک سیم به گذرگاه داده^{۱۱}، می‌توان اطلاعات مبادله شده را آشکار کرد. از این نوع حمله می‌توان حمله پروب‌گذاری^{۱۲} را نام برد که در ایستگاه پروب‌گذاری و با استفاده از تجهیزات دقیق و میکروسکوپ‌های با دقّت بالا و پروب‌های بسیار نازک انجام می‌شود. با این تجهیزات می‌توان به بازیابی داده‌ها در نقاط مختلف تراشه و یا مشاهده سلول‌های حافظه پرداخت. چنین سامانه‌ای به‌طور گستردگی در صنایع نیمه‌هادی مورد استفاده قرار می‌گیرد. این حملات بسیار قدرتمند بوده اما نیازمند تجهیزات با قیمت بالا هستند. درنتیجه کارهای اندکی در این زمینه ارائه شده (Mangard et al, 2007) و همچنین این حملات باعث آسیب فیزیکی به سخت‌افزار رمزگاری خواهند شد. یک مدل حمله پروب‌گذاری روی AES در (Schmidt and Kim, 2008) ارائه شده است.

در حملات نیمه‌تهاجمی، پوشش تراشه برداشته می‌شود اما هیچ‌گونه اتصال الکتریکی مستقیمی به سطح تراشه انجام نمی‌شود. به‌طور معمول در حملات نیمه‌تهاجمی غیرفعال، هدف خواندن محتوای سلول‌های حافظه بدون استفاده از پروب‌گذاری است. یک حمله موقق در این مورد در (Samyde et al, 2002) آمده است. در حملات نیمه‌تهاجمی فعال، هدف القای خطا به سامانه است.

این کار با اشعة X، میدان‌های الکتریکی و مغناطیسی و یا نور انجام می‌شود. برای مثال، یک حمله Skorobogatov and (Anderson, 2003) گران‌قیمت مانند تجهیزات حملات تهاجمی نیاز ندارند؛ اما هنوز برای انجام یک حمله نیمه‌تهاجمی موفق تلاش بالایی نیاز است. برای مثال فرآیند مشخص کردن مکان دقیق حمله، روی سطح یک تراشه مدرن، به تجربه و زمان کافی نیاز دارد (Mangard et al, 2007). در این زمینه (Skorobogatov, 2005) منبع کاملی است.

حملات غیرتهاجمی دسته دیگر حملات بودند. در این گونه حملات بدون آسیب فیزیکی و برداشتن پوشش تراشه، سعی می‌شود سامانه شکسته شود. بیشتر حملات غیر

⁴ Timing Attacks

⁵ Power Analysis Attacks

⁶ Electromagnetic (EM)Attacks

⁷ Glitch

⁸ Paul C. Kocher

⁹ Mix-Columns

¹ Non-Invasive

² Data Bus

³ Probing Attack



کلید استفاده شده است. اساس حمله برمبنای تشخیص وزن همینگ نتایج میانی حین اجرای تابع توسعی کلید در الگوریتم پیاده‌سازی شده برای کارت هوشمند است. موفقیت آن مشروط به تشخیص وزن همینگ داده‌های میانی است و از آنجا که در تشخیص وزن همینگ داده‌ها از روی اثر توان عوامل زیادی تاثیر گذارند (از جمله مصرف توان عملگر و عملگرهای قبل و بعد از آن، وضعیت گذرگاه داده قبل و بعد از اجرای عملگر و همچنین ساختار داخلی سختافزار و ارتباط اجزای مختلف آن)، این تشخیص مشکل شده و باعث ناکارآمدی و پرهزینه شدن حمله می‌شود.

در این مقاله یک حمله SPA موفق روی AES ارائه می‌کنیم و نشان می‌دهیم که در یک پیاده‌سازی ناامن از AES، با استفاده از تحلیل سیگنال توان حاصل از پردازش داده‌های مختلف حین اجرای تبدیل مخلوط‌ساز ستونی، چگونه می‌توان یک حمله تحلیل ساده توان موفق و کارآمد داشت. در اینجا از تفاوت ایجاد شده در اثر توان مصرفی رمزکننده به ازای نتایج مختلف یک عملگر شرطی در تبدیل مخلوط‌ساز ستونی استفاده خواهیم کرد.

در ادامه این مقاله، الگوریتم AES و چگونگی اجرای تبدیل مخلوط‌ساز ستونی در بخش دو خواهند آمد. در بخش سه به بیان نقطه آسیب‌پذیر آن برای اعمال حمله می‌پردازیم و در ادامه روش نظری اعمال ایده حمله را در بخش چهار ارائه می‌کنیم. پیاده‌سازی عملی حمله را در بخش پنجم خواهیم داشت و در بخش شش نتایج عملی حمله را می‌آوریم. در انتها نیز پس از پیشنهاد راهکاری برای مقابله با این تهدید به جمع‌بندی و نتیجه‌گیری می‌پردازیم.

۲- الگوریتم AES

الگوریتم رمز رایندال^۴ (Daemen and Rijmen, 2000) توسط NIST در نوامبر ۲۰۰۱ به عنوان استاندارد پیشرفته رمزنگاری (AES) معروف و سپس تحت استاندارد FIPS197 (NIST, 2001) ارائه شد. یک الگوریتم رمز قابلی بایت‌گرا با کلید متقارن و طول بلوک ۱۲۸ بیت است. طول کلید می‌تواند ۱۲۸، ۱۹۲ و ۲۵۶ بیت باشد و متناسب با طول کلید، تعداد دورهای الگوریتم به ترتیب برابر ۱۰، ۱۲، و ۱۴ دور است. برای مشخص کردن طول کلید الگوریتم مورد بررسی، AES را به صورت AES-128، AES-192 و AES-256 تابع توسعی کلید^۵ از AES را هدف قرارداده است. در این حمله از نشت اطلاعات و وجود رابطه بازگشتی در محاسبه کلیدهای دور AES در تابع توسعی کلید جهت کاهش فضای

رمزنگاری هستیم. در حالت کلی دو نوع وابستگی در سیگنال توان وجود دارد: وابستگی به عملوند (داده) و وابستگی به عملگر. حملات تحلیل توان از این حقیقت نتیجه می‌شوند که توان مصرفی ابزار رمزنگاری وابسته به داده‌هایی است که پردازش می‌کند و عملگرهایی که اجرا می‌کند. ایده استفاده از این حقیقت در تحلیل ابزارهای رمزنگاری نیز ابتدا توسط کوچر (Kocher et al, 1999) مطرح شد. حملات تحلیل توان را می‌توان به دو دسته ساده^۶ (SPA) و تقاضلی^۷ (DPA) تقسیم کرد. تحلیل توان ساده تکنیکی است که شامل مشاهده و بررسی مستقیم اثرهای توان جمع‌آوری شده حین رمزنگاری است. به عبارت دیگر مهاجم سعی دارد با تعداد محدودی اثر توان، کم و بیش به کلید و یا اطلاعاتی درباره الگوریتم رمزنگاری دست یابد. در SPA اغلب نیازمند داشتن اطلاعاتی از جزئیات پیاده‌سازی ابزار مورد حمله هستیم. در عمل SPA زمانی مفید و مورد استفاده قرار می‌گیرد که یک یا تعداد اندکی اثر توان برای یک مجموعه ورودی داشته باشیم. اما در تحلیل تقاضلی توان، هدف یافتن کلید با استفاده از تعداد زیادی اثر توان است. این سیگنال‌های توان در حین رمزنگاری و یا رمزگشایی بلوک‌های داده مختلف ذخیره شده‌اند و برای تحلیل آنها از روش‌های آماری استفاده می‌شود. در DPA نیازمند داشتن اطلاعات دقیق درخصوص ابزار مورد حمله نیستیم. به طور معمول تنها کافی است بدانیم که الگوریتم در حال اجرا روی سختافزار رمزنگار چیست. همچنین در این حمله مهاجم می‌تواند کلید را در شرایط بهشدت نوفه‌ای نیز کشف کند. در مقایسه با SPA نیازمند داشتن اثرهای توان بسیار زیادی هستیم. بنابراین برای اعمال حمله لازم است که ابزار مورد حمله، مدتی در دسترس فیزیکی باشد. نتایج زیادی از اعمال DPA روی الگوریتم‌های مختلف به خصوص AES گزارش شده است. در (Masoomi et al, 2010) نمونه‌ای از این حمله آمده است.

ما در اینجا به اعمال یک حمله SPA موفق روی AES می‌پردازیم. حملات SPA با تعداد اندکی اثر توان سعی در شکستن سامانه دارند. در زمینه اعمال SPA روی AES کارهای اندکی صورت گرفته است. در (Mangard, 2003) یک نمونه از این حمله به AES آمده است که پیاده‌سازی تابع توسعی کلید^۸ از AES را هدف قرارداده است. در این حمله از نشت اطلاعات و وجود رابطه بازگشتی در محاسبه کلیدهای دور AES در تابع توسعی کلید جهت کاهش فضای

¹ Simple Power Analysis

² Differential Power Analysis

³ Key Expansion

⁴ Rijndael

⁵ SubBytes

⁶ ShiftRows

ضرب کردن '02' در بایت داده، معادل ضرب کردن x در $m(x)$ است و عبارت است از:

$$x \cdot b(x) = b_7x^8 + b_6x^7 + b_5x^6 + b_4x^5 + b_3x^4 + b_2x^3 + b_1x^2 + b_0x \quad (3)$$

که برای رسیدن به جواب باید به پیمانه $m(x)$ کاهش یابد. اگر $0 = b_7$ باشد پاسخ به خودی خود کاهش یافته است. اما اگر $1 = b_7$ باشد، آنگاه کاهش با استفاده از کم کردن XOR کردن، چند جمله‌ای $m(x)$ حاصل می‌شود. عملیات ضرب x در $b(x)$ به پیمانه $m(x)$ را $xTime$ گویند. در واقع ضرب در '02' را می‌توان این چنین سرعت بخشید:

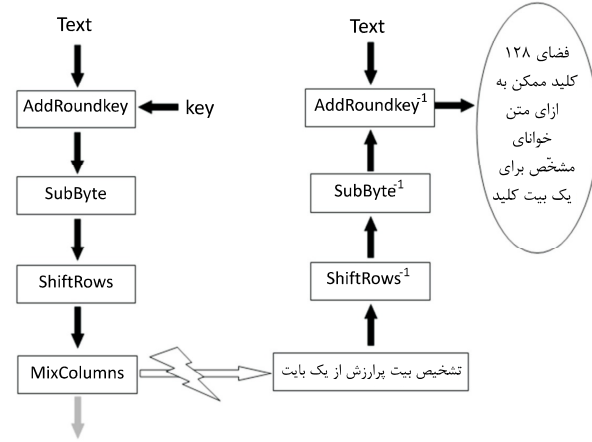
(۱) بایت مورد نظر را یک واحد به چپ شیفت می‌دهیم.

(۲) اگر بیت نقلی^۲ ایجاد شد، نتیجه با '1B' می‌شود.

اگر پیاده‌سازی با دقیق انجام نشود، عملیات بالا که شامل یک عمل شرطی است، می‌تواند در حالات مختلف اثر متفاوتی روی نمودار توان بگذارد و باعث نشت اطلاعات شده و مقدار بیت پارازش بایت ضرب شده را آشکار کند. در این مقاله از این نقطه ضعف برای پریزی حمله استفاده می‌کنیم.

۴- روش اعمال نظری حمله

در قسمت قبل نقطه ضعف موجود در تابع مخلوط‌ساز ستونی را بیان کردیم. در این قسمت روش استفاده از این نقطه ضعف برای اعمال حمله و بازیابی کلید را بیان می‌کنیم. اساس حمله عبارت است از تشخیص بیت پارازش بایت‌های ماتریس حالت در تبدیل مخلوط‌ساز ستونی دور اول با استفاده از اثرهای توان.



(شکل ۱): الگوریتم AES تا تبدیل مخلوط‌ساز ستونی دور اول و روند بازگشت الگوریتم با داشتن بیت پارازش یک بایت در تبدیل مخلوط‌ساز ستونی

² Carry

با زیرکلید دور^۱، که به ترتیب در هر دور اجرا می‌شوند. پیش از دور اول به منظور سفیدسازی، یک مرحله جمع با زیرکلید وجود دارد. همچنین تابع مخلوط‌ساز ستونی در آخرین دور وجود ندارد. طول بلوک ۱۲۸ بیت است و در آغاز عملیات رمزگاری، پیام به بلوک‌های ۱۲۸ بیتی (۱۶ بایتی) تقسیم می‌شود و به صورت ماتریسی 4×4 نمایش داده می‌شود که به آن ماتریس حالت گویند. جمع با زیرکلید دور عبارت است از یک عملیات ساده XOR که در آن عناصر ماتریس حالت با زیرکلید هر دور (RoundKey) بایت به بایت XOR می‌شوند. جانشینی بایتی یک تابع غیر خطی است که هر بایت از ماتریس حالت را با بایت متناظر آن در جدول S-Box جایگزین می‌کند. جدول مقادیر معکوس ضربی همهٔ حالت‌های ممکن یک بایت (۲۵۶ حالت) در $(GF(2)^8)$ با یک تبدیل آفینی است. تبدیل شیفت سط्रی یک تابع خطی است که سطر اول را تغییر نمی‌دهد و سطرهای دوم، سوم و چهارم را به ترتیب یک بایت، دو بایت و سه بایت به صورت چرخشی به سمت چپ انتقال می‌دهد. در تبدیل مخلوط‌ساز ستونی، ضرب ماتریسی زیر روی ستون‌های ماتریس حالت اعمال می‌گردد.

$$\begin{bmatrix} S'_{0,c} \\ S'_{1,c} \\ S'_{2,c} \\ S'_{3,c} \end{bmatrix} = \begin{bmatrix} 02 & 03 & 01 & 01 \\ 01 & 02 & 03 & 01 \\ 01 & 01 & 02 & 03 \\ 03 & 01 & 01 & 02 \end{bmatrix} \bullet \begin{bmatrix} S_{0,c} \\ S_{1,c} \\ S_{2,c} \\ S_{3,c} \end{bmatrix}$$

منظور از عمل گردن ضرب در فضای $GF(2)^8$ است. این ضرب‌ها به صورت ضرب چند جمله‌ای‌های باینری به پیمانه چند جمله‌ای تحویل ناپذیر I روی $GF(2)$ تعریف می‌شوند.

۳- نقطه آسیب‌پذیر

در هنگام پیاده‌سازی AES، تابع مخلوط‌ساز ستونی را با توجه به ماتریس بالا و چند جمله‌ای تحویل ناپذیر ($m(x)$) می‌توان بسیار کارآمد پیاده‌سازی کرد (NIST, 2001). ماتریس ضربی فقط شامل عناصر '01', '02', '03' و '04' است و از آنجا که $'02' + '01' = '03$ است، پس تنها ضربی که باید در عمل پیاده‌سازی شود همان ضرب در '02' است. همچنین یک بایت داده را می‌توان به صورت چند جمله‌ای زیر در نظر گرفت:

$$b(x) = b_7x^7 + b_6x^6 + b_5x^5 + b_4x^4 + b_3x^3 + b_2x^2 + b_1x + b : \{b_7\ b_6\ b_5\ b_4\ b_3\ b_2\ b_1\ b_0\} \quad (1)$$

و برای $m(x)$ داریم:

$$m(x) = x^8 + x^4 + x^3 + x + 1 : \{100011011\} : \{01\}\{1B\} \quad (2)$$

¹ AddRoundKey

مراحل بالا را تکرار می‌کنیم تا فضای کلید به تعداد مورد نظر کاهش یابد. اگر تعداد تکرار کافی باشد، آنگاه فقط یک کلید به عنوان اشتراک همهٔ فضاهای کلید باقی می‌ماند که همان بایت کلید صحیح است.

۵- پیاده‌سازی عملی حمله

برای عملی کردن حمله خود ابتدا الگوریتم AES را مطابق استاندارد FIPS197 روی یک میکروکنترلر هشت‌بیتی PIC پیاده‌سازی کردیم و بدین ترتیب سخت‌افزار رمزکننده خود را آماده ساختیم. میکروکنترلر PIC محصول شرکت Microchip است و سهم بهسزایی در بازار میکروکنترلرها و کارت‌های هوشمند دارد.

رمزکننده ساخته شده از طریق درگاه USB به رایانه متصل می‌شود. یک رابط کاربری^۱ روی رایانه با استفاده از محیط C# از مجموعه Visual Studio تهیه کردیم که با رمزکننده ارتباط برقرار می‌کند و قالب‌های^۲ ۱۲۸ بیتی داده را برای آن ارسال می‌کند. سخت‌افزار رمزکننده با دریافت یک قالب داده، آن را رمز می‌کند و نتیجه را به رایانه باز می‌گرداند. حال با داشتن سخت‌افزار به عملی‌سازی حمله خود می‌پردازیم.

پیاده‌سازی حمله شامل دو مرحله است، یکی نمونه‌برداری و ذخیره اثرهای توان مصرفی رمزکننده حین رمزگاری و سپس تشخیص بیت پر ارزش بایت‌های ماتریس حالت در تبدیل مخلوط‌ساز ستونی و دیگری استفاده از بیت تشخیص داده شده برای یافتن یک فضای کلید متناظر با داده ورودی.

برای نمونه‌برداری از اثر توان باید از یک اسلوسکوپ دیجیتال حافظه‌دار استفاده کنیم. در اینجا ما از اسیلوسکوپ RIGOL DS1202CA استفاده کردی‌ایم. این اسیلوسکوپ ۲GSa/S دارای پهنای باند ۲۰۰MHz و نرخ نمونه‌برداری RS-232 است. همچنین دارای قابلیت اتصال به رایانه از طریق USB و RS-232 است و همچنین می‌تواند سیگنال‌های گرفته شده را روی USB Flash Memory ذخیره کند. از دیگر امکانات مفید این اسیلوسکوپ قابلیت برنامه‌پذیری و کنترل از طریق رایانه است. کنترل این ابزار با استفاده از توابع موجود در VISA API امکان‌پذیر است. این توابع زیرمجموعه‌ای از NI-VISA هستند که به صورت استاندارد برای کار با وسایل VISA اندازه‌گیری و آزمایشگاهی قابل اتصال به رایانه تدوین شده

¹ Application Interface

² Blocks

در سمت چپ از (شکل ۱) الگوریتم AES تا رسیدن به خروجی اولین تبدیل مخلوط‌ساز ستونی آمده است. حال اگر بیت پر ارزش بایتی از ماتریس حالت را در تبدیل مخلوط‌ساز ستونی تشخیص داده باشیم، می‌توانیم در جهت عکس نمودار به سمت بالا حرکت کنیم تا به یک فضای کلید کاهش‌بافته برسیم.

با داشتن بیت پر ارزش بایتی از ماتریس حالت، وقتی از^۳ SubBytes عبور کنیم یا نیمة بالای جدول معکوس S-Box انتخاب می‌شود و یا نیمة پایین آن که ۱۲۸ عضو ممکن از جدول برای هریک از حالات صفر یا یک بودن بیت پر ارزش انتخاب می‌شوند. حال با XOR کردن فضای انتخابی با بایت متناظر از متن خوانا، یک فضای کلید با ۱۲۸ عضو برای یک بایت از کلید به دست می‌آید.

اگر عمل بالا را برای ورودی دیگری تکرار کنیم و بیت پر ارزش از همان بایت ماتریس حالت را تشخیص دهیم، این‌بار نیز یانیمه بالای جدول معکوس S-Box انتخاب می‌شود و یا نیمه پایین آن که این‌بار نیز ۱۲۸ عضو ممکن انتخاب می‌شوند. حتی اگر قسمت انتخاب شده از جدول معکوس S-Box تکراری باشد، از آنجا که داده ورودی متفاوت بوده، با XOR کردن فضای انتخابی با بایت متناظر از متن خوانا، یک فضای کلید ۱۲۸ عضوی جدید برای همان بایت از کلید به دست می‌آید که با فضای به دست آمده قبلی حداقل یک اشتراک دارد (کلید صحیح).

با تکراروند بالا برای ورودی‌های مختلف، هر بار یک فضای کلید ۱۲۸ عضوی برای کلید به دست می‌آید که فضای کلید نهایی عبارت است از اشتراک همهٔ فضاهای کلید به دست آمده.

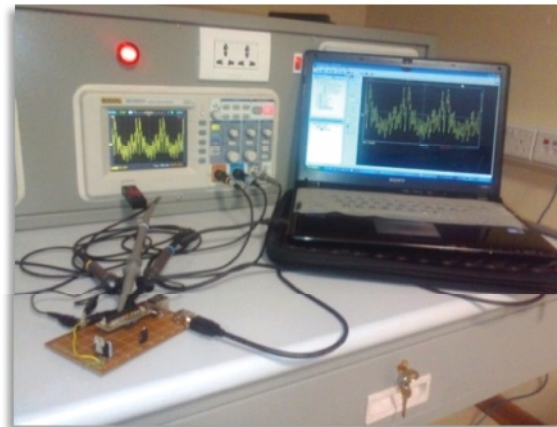
پس می‌توانیم روش حمله خود را به صورت زیر مرتب کنیم:

۱. انتخاب یک متن خوانا
۲. اعمال متن به رمزگار و نمونه‌برداری از توان مصرفی
۳. تشخیص بیت پر ارزش یک بایت از ماتریس حالت با استفاده از شکل موج اثر توان در تبدیل مخلوط‌ساز ستونی دور اول
۴. استفاده از بیت تشخیص داده شده طبق (شکل ۱) برای یافتن فضای کلید
۵. اشتراک‌گیری بین فضای کلید به دست آمده و اشتراک فضاهای کلید قبلی

ذخیره و سپس اسیلوسکوپ را برای نمونهبرداری بعدی آماده می‌کند. نمونههای توان لازم در این مقاله به ترتیب بالا و در حالی که فرکانس کاری سختافزار رمزنگار $16MHz$ بوده است تهیه شده‌اند. در حملات تحلیل توان برای داشتن یک نتیجه خوب باید اثر نوفه را حذف کرد. برای حذف نوفه، عملیات رمزنگاری را برای یک داده مشخص چندین بار تکرار کرده و اثرات توان را ذخیره می‌کنیم. سپس با انتقال داده‌ها به رایانه، از این اثرها میانگین‌گیری می‌کنیم. لازم به ذکر است که اسیلوسکوپ اطلاعات خود را با قالب تکستونی^۲ شامل ۵۱۲۰ نقطه از شکل موج نمونهبرداری شده ذخیره می‌کند، میانگین‌گیری و رسم نمودارهای توان در محیط نرمافزار *MATLAB* انجام شده است. در نرمافزار *MATLAB* با استفاده از دستور *'importdata'* داده‌ها را به محیط نرمافزار فراخوانی می‌کنیم و پردازش‌های خود را روی آنها اجام می‌دهیم. در (شکل ۳) اثرات توان مصرفی سختافزار رمزکننده حین اجرای تابع مخلوطساز ستونی برای چهار بار تکرار عملیات رمزنگاری به‌ازای ورودی ثابت '0x00' آمده است. با توجه به شکل، می‌توان تفاوت‌هایی در اثرات ذخیره‌شده، به‌خصوص در قله‌ها، دید و این به‌دلیل تأثیر نوفه است.

بعد از تهیه سیگنال‌ها و میانگین‌گیری و آماده‌سازی آنها باید به تشخیص بیت پرارزش بایت‌های ماتریس حالت در تابع مخلوطساز ستونی دور اول پردازیم. برای تشخیص بیت پرارزش باید اطلاعاتی در خصوص پیاده‌سازی الگوریتم *XOR* داشته باشیم. همان‌طور که در قبل گفته شد، اگر عمل *XOR* با {1b} بعد از عمل انتقال به چپ اجرا شود، می‌توان نتیجه گرفت که مقدار بیت پرارزش بایت داده قبل از انتقال به چپ '1' و در غیر این صورت '0' بوده است. پس اگر بتوانیم اجرا یا عدم اجرای *XOR* با {1b} را تشخیص دهیم، درواقع وضعیت بیت پرارزش بایت موردنظر را مشخص کرده‌ایم. ممکن است که الگوریتم طوری پیاده‌سازی شده باشد که تعداد سیکل دستورالعمل در حالت '1' بودن بیت و اجرای *XOR* با تعداد سیکل دستورالعمل در حالت '0' بودن بیت و اجرا نشدن *XOR* یکسان نباشد. در این حالت به راحتی می‌توان با داشتن سیگنال توان مصرفی حین اجرای عمل ضرب بایت در '02' و مشاهده تعداد سیکل‌های دستورالعمل در اثر توان، حالتی را که بیت موردنظر '1' بوده و *XOR* اجرا شده را تشخیص داد. اما در یک پیاده‌سازی امن‌تر می‌توان پیاده‌سازی را طوری انجام داد که در هر دو حالت صفر و یا یک بودن بیت، اجرای برنامه با تعداد سیکل ساعت یکسان

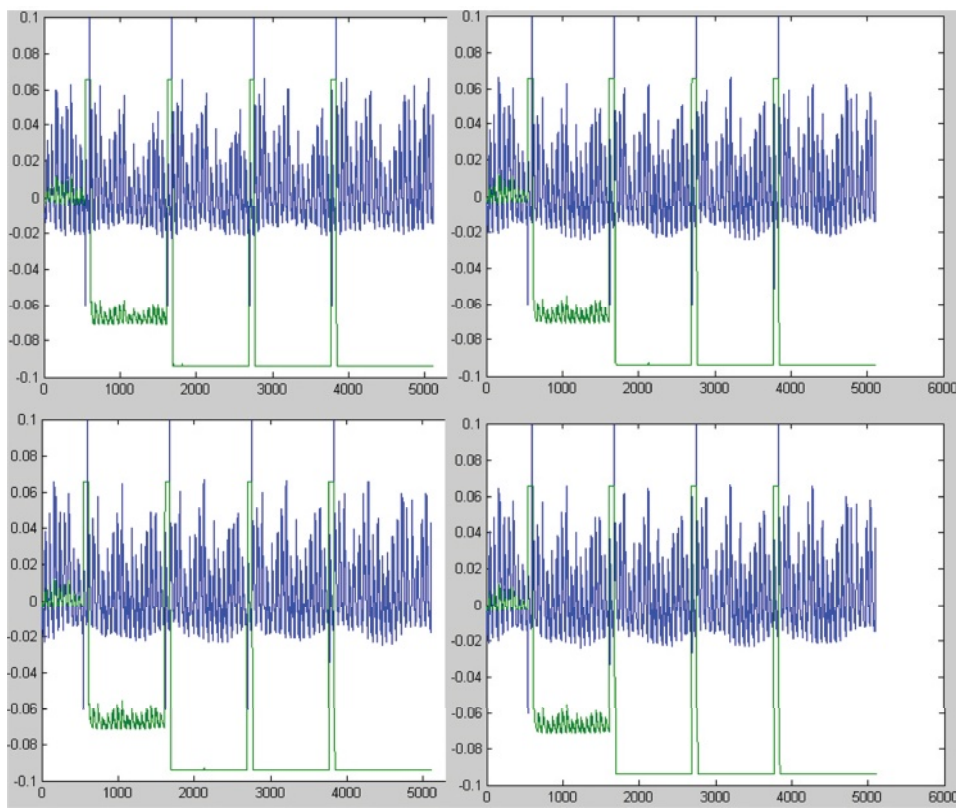
است. رایانه دستورات را به صورت متوالی از طریق *USB* و یا *RS-232* به ابزار ارسال و ابزار تقاضای داده شده را اجرا می‌کند (RIGOL 2009). از آنجا که در حملات تحلیل توان باید اثرهای توان زیادی را ذخیره کنیم، قابلیت برنامه‌پذیری اسیلوسکوپ برای سرعت بخشیدن به عملیات حمله بسیار مؤثر خواهد بود. به منظور کنترل کردن اسیلوسکوپ از طریق رایانه نیز یک رابط کاربری با استفاده از *Visual C#* تهیه کردیم که با اسیلوسکوپ ارتباط برقرار کرده و در هنگام رمزنگاری، با ارسال دنباله دستورات مناسب به اسیلوسکوپ، اثر توان مصرفی را روی حافظه فلاش ذخیره می‌کند. در (شکل ۲) تجهیزات حمله را مشاهده می‌کنید.



(شکل ۲): تجهیزات حمله شامل اسیلوسکوپ و رایانه روش کلی کنترل و هم‌زنمان‌سازی اسیلوسکوپ و سختافزار رمزکننده برای اعمال حمله این چنین است: برای شروع یک نمونه‌برداری از سیگنال توان، ابتدا رایانه اسیلوسکوپ را (که حافظه *USB Flash* به آن وصل است) آماده می‌کند و اسیلوسکوپ منتظر دریافت سیگنال چکانه^۱ برای شروع نمونه‌برداری می‌ماند. این چکانه به صورت خارجی و از طریق رمزنگار تولید خواهد شد. علت این امر آن است که به محض شروع یک عملیات خاص، اسیلوسکوپ شروع به نمونه‌برداری کند و داده‌ای از دست نزود. حال رایانه داده مورد نظر برای رمزنگاری را به رمزنگار می‌فرستد. سپس به رمزنگار فرمان شروع می‌دهد. رمزنگار با ابتدای عملیات سیگنال، چکانه را نیز تولید می‌کند. با این کار اسیلوسکوپ شروع به نمونه‌برداری کرده و یک نمونه از اثر توان مصرف شامل ۵۱۲۰ نقطه برداشته می‌شود. وقتی رمزنگار عملیات خود را تمام کرد، اتمام کار خود را به رایانه اعلام می‌کند. در این لحظه رایانه با ارسال دنباله دستورات مناسب به اسیلوسکوپ، نمونه توان برداشته شده را روی حافظه فلاش

¹ Trigger

² Comma Separated Value



(شکل ۳): اثرهای توان مصرفی حین اجرای تابع مخلوط‌ساز ستونی برای چهار بار تکرار عملیات رمزگاری به‌ازای ورودی ثابت '0x00'

در (شکل ۴ - الف) بیت مورد نظر از بایت اول، صفر است و به جای XOR یک NOP اجرا شده است. اما در (شکل ۴ - ب) بیت مورد نظر یک بوده و XOR انجام شده است. در قسمت‌های مشخص شده از دو سیگنال در (شکل ۴)، تفاوت سطح توان مصرفی به‌خاطر این تفاوت تصمیم‌گیری مشخص است.

برای انجام این حمله، مراحل تحلیلی حمله و اشتراک‌گیری فضاهای کلید به‌دست آمده به‌صورت نرم‌افزاری انجام می‌شود. این نرم‌افزار در محیط $C++$ تهیی شده است و با گرفتن دنباله بیت‌های به‌عنوان بیت پردازش باقی از ماتریس حالت در حین اجرای تابع مخلوط‌ساز ستونی دور اول در تکرارهای مجدد آزمایش با ورودی متفاوت، به محدود کردن فضای کلید می‌پردازد.

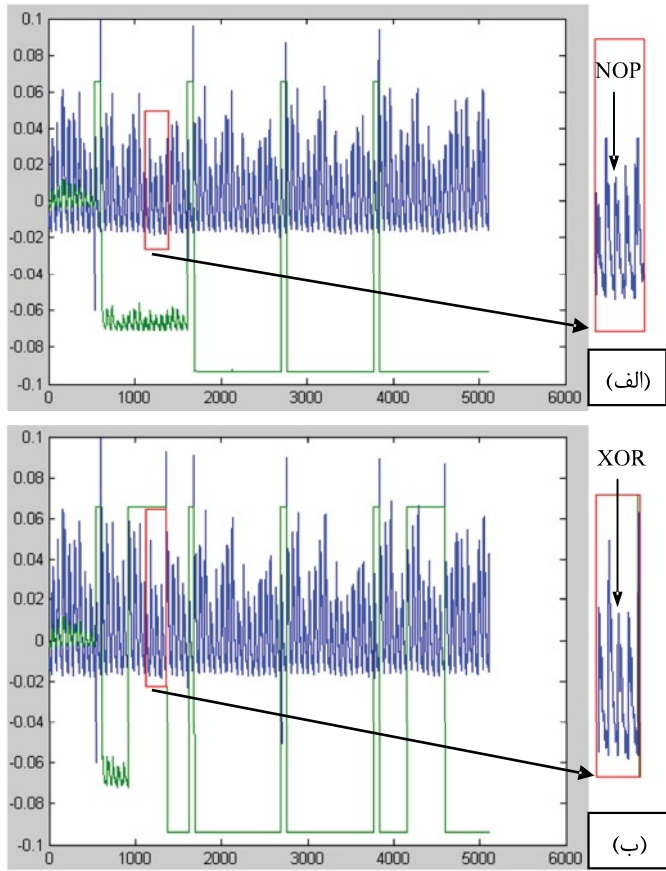
ادامه یابد. از آنجاکه ما از میکروکنترلر PIC به‌عنوان بستر پیاده‌سازی استفاده کردیم، پس با توجه به برگه اطلاعاتی این میکروکنترلر (Microchip, 2007) از دنباله دستورات اسمبلی زیر برای اجرای عمل ضرب در ' 2 ' به پیمانه ($m(x)$) استفاده می‌کنیم که شامل بررسی بیت پردازش یک بایت و تصمیم‌گیری طبق آن برای اجرا یا عدم اجرای دستور بعد است:

$RLNCF$	$WREG,f$
$BTFSC$	$WREG,0$
$XORLW$	$0x1a$

دستور $RLNCF$ ثبات W را یک بیت بدون جابه‌جاکردن نقلی به سمت چپ می‌چرخاند. حال دستور $BTFSC$ بیت ۰ از ثبات W را بررسی می‌کند. اگر این بیت که قبل از چرخش بیت پردازش W بود، صفر باشد، از دستور بعد پرش می‌شود که در واقع یک NOP به‌جای دستور بعد اجرا و بدین ترتیب در هر صورت ('۰' و یا '۱' بودن بیت مورد نظر از ثبات W) تعداد پالس‌های ساعت لازم مساوی خواهد شد. با وجود این پیاده‌سازی اگر دوباره سیگنال اثر توان مربوط به بررسی شرط یک‌بودن بیت پردازش ثبات W را ذخیره کنیم شکل‌هایی مانند (شکل ۴) خواهیم داشت که اگر اثر نوفه را به‌خوبی حذف کرده باشیم، دوباره تحلیل‌های روی آنها می‌توانیم داشته باشیم.

۶- نتایج عملی و تحلیل‌ها

در اینجا نتایج حاصل از اعمال حمله روی پیاده‌سازی و روند محدود شدن مرحله به مرحله‌ی فضای کلید را بیان می‌کنیم. این مراحل را برای بایت اول کلید عنوان می‌کنیم و برای دیگر بایت‌های کلید نیز مشابه همین روند وجود دارد. در اوّلین آزمایش، بایت اول متن خوانا را $0x00$ قرار داده و با شروع رمزگاری حمله خود را اعمال کردیم که



(شکل ۴): اختلاف در سطح توان عمل NOP و XOR

key = 9, 6a, d5, a5, 38, a3, fb, 39, 2f, 87, 8e, 43, 44, cb, 94, a6, c2, 95, b, 42, fa, c3, 8, 2e, d9, 24, b2, a2, 49, 6d, 8b, d1, 25, f6, 64, 86, d4, a4, 5c, 5d, 65, 6c, 48, b9, a7, 8d, d8, 0, 8c, bc, a, f7, b8, b3, 45, d0, 8f, ca, 2, bd, 3, 1, 8a, 6b.

در تلاش سوم بایت اول متن خوانا را *0x02* انتخاب می‌کنیم. این بار نیز '0' برای مقدار بیت پردازش به دست آمد. در این مرحله اشتراک فضاهای کلید شامل سی عضو است:

key = 9, 6a, d5, a5, a3, 8e, 44, a6, b, 42, fa, c3, 8, 2e, d1, 64, 86, a4, 5c, a7, 8d, d8, 0, 8c, a, 8f, 2, bd, 3, 1.

به همین ترتیب تلاش‌های خود را ادامه دادیم تا این‌که در آزمایش سیزدهم تنها به یک کلید رسیدیم. در زیر نتایج این مراحل به ترتیب آمده است:

```
tray : 4, text[0]=0x03, bit=0, n=16
        key = 9, a5, 8e, a6, b, 8, a4, a7, 8d, 0, 8c, a,
        8f, 2, 3, 1.
tray : 5, text[0]= 0x04, bit=1, n=8
        key = 9, 8, a4, 8d, 0, 8c, a, 3.
tray : 6, text[0]= 0x05, bit=0, n=4
        key = a4, 0, a, 3.
tray : 7, text[0]= 0x06, bit=0, n=3
        key = a4, 0, 3.
tray : 8, text[0]= 0x07, bit=1, n=2
        key = 0, 3.
```

مقدار '0' برای بیت پردازش از بایت اول ماتریس حالت در تبدیل مخلوطساز ستونی حاصل شد. با دادن این مقدار به نرم‌افزار، ۱۲۸ حالت زیر به عنوان فضای کلید ممکن معرفی شد:

key = 52, 9, 6a, d5, 30, 36, a5, 38, bf, 40, a3, 9e, 81, f3, d7, fb, 7c, e3, 39, 82, 9b, 2f, ff, 87, 34, 8e, 43, 44, c4, de, e9, cb, 54, 7b, 94, 32, a6, c2, 23, 3d, ee, 4c, 95, b, 42, fa, c3, 4e, 8, 2e, a1, 66, 28, d9, 24, b2, 76, 5b, a2, 49, 6d, 8b, d1, 25, 72, f8, f6, 64, 86, 68, 98, 16, d4, a4, 5c, cc, 5d, 65, b6, 92, c, 70, 48, 50, fd, ed, b9, da, 5e, 15, 46, 57, a7, 8d, 9d, 84, 90, d8, ab, 0, 8c, bc, d3, a, f7, e4, 58, 5, b8, b3, 45, 6, d0, 2c, 1e, 8f, ca, 3f, f, 2, c1, af, bd, 3, 1, 13, 8a, 6b.

در آزمایش دوم، بایت اول متن خوانا را *0x01* قرار داده و حمله را تکرار کردیم که دوباره مقدار '0' برای بیت پردازش از بایت اول ماتریس حالت در تبدیل مخلوطساز ستونی به دست آمد. این بار نیز نرم‌افزار با گرفتن این مقدار، یک فضای ۱۲۸ تابی برای کلیدهای ممکن به دست می‌آورد که اشتراک آن با فضای کلید آزمایش قبل، شامل ۶۴ عضو زیر است:

پس تنها تغییر برنامه برای مقاومت‌سازی در برابر این حمله *SPA*، تغییردادن تابع '*XTime*' به گونه‌ای است که حاصل ضرب از جدول جستجو فراخوانی شود.

۸- جمع‌بندی و نتیجه‌گیری

در این مقاله ضمن ارائه مقدمه‌ای از حمله‌های کانال جانبی به خصوص حمله‌های تحلیل توان و مرور ساختار الگوریتم *AES* به ضعف موجود در تابع مخلوط‌ساز سنتونی این الگوریتم در برابر *SPA* پرداختیم و نشان دادیم که چگونه می‌توان از این ضعف برای اعمال یک حمله تحلیل توان ساده به *AES* استفاده کرد. سپس روش عملی کردن این حمله را روی یک پیاده‌سازی *AES* بر روی میکروکنترلر آوردیم. همچنین تجهیزات سخت‌افزاری و نرم‌افزاری لازم به همراه نتایج عملی و نحوه بازیابی کلید بیان شد. حمله‌های تحلیل توان همواره یکی از تهدیدهای مهم برای سامانه‌های رمزگاری هستند. برای مقابله با حمله *SPA* در پیاده‌سازی‌ها به این نکته باید دقیق کرد که از وجود ساختارهای شرطی در الگوریتم اجتناب شود.

۹- منابع

- Chen, C.N., Yen, S.M., 2003. "Differential Fault Analysis on AES Key Schedule and Some countermeasures," ACISP'03 Proceedings of the 8th Australasian conference on Information security and privacy, LNCS2727, pp.118-129, Wollongong, Australia, Jul. 2003, Springer-Verlag.
- Daemen, J., Rijmen, V., 2000. Rijndael Block Cipher, AES Proposal, Computer Security Resource Center, National Institute of Standards and Technology.
- Gandolfi, K., Naccache, D., Paar , C., Karine, G., Mourtel,C., Olivier, F., 2001. "Electromagnetic Analysis: Concrete Results," CHES 2001, Third International Workshop, Paris, France, May 14-16,2001, Proceedings, LNCS2162, pages 251-261. Springer.
- Goldack, M. 2008. Side-Channel based Reverse Engineering for Microcontrollers, Ruhr-University.
- Koeune, F., Quisquater, J.J., 1999. "A Timing Attack against Rijndael," Technical Report CG-1999/1 ,UniversiteCatholique de Louvain, Available online at <http://www.di.ce.ucl.ac.be/cryptology/techreports.html>
- Kocher, P., 1996. "Timing Attacks on Implementations of Diffie-Hellman, RSA, DSS, and Other Systems," CRYPTO'96, 16th Annual International Cryptology Conference, Santa Barbara, California, USA, August 18-22, 1996, Proceedings, LNCS1109, pages 104-113. Springer-Verlag London.

```
tray : 9 , text[0]= 0x08, bit=0, n=2
key=0, 3.
tray : 10, text[0]= 0x09, bit=0, n=2
key=0, 3.
tray : 11, text[0]= 0x0a, bit=0, n=2
key = 0, 3.
tray : 12, text[0]= 0x0b, bit=0, n=2
key = 0, 3.
tray : 13, text[0]= 0x0c, bit=1, n=1
key = 0.
```

همان‌طور که مشاهده می‌شود، درنهایت تنها عضو مشترک همه فضاهای به‌دست آمده، عبارت است از '0x00' که مقدار صحیح برای بایت اوّل کلید استفاده شده در سخت‌افزار در زمان انجام این حمله بود.

این حمله برای مقدادر مختلفی از بایت‌های کلید آزمایش شده و همواره کلید را به درستی نتیجه گرفته است. طبق نتایج حاصل از پیاده‌سازی این حمله به این نتیجه می‌رسیم که با داشتن حدّاً کثر شانزده متن خوان، در هر صورت اشتراک فضاهای کلید تنها شامل یک عضو خواهد شد که همان کلید رمزگاری است.

۷- راه‌کار پیشنهادی برای مقابله با این نقطه ضعف

به‌طور معمول ضعف سامانه‌ها در برابر *SPA*، به‌دلیل وجود عمل‌گرهای شرطی در ساختار آنها و بی‌دقیقی در ساختار برنامه عمل‌گرهای شرطی است. در این مقاله نیز ما از وجود اینچنین ضعفی در پیاده‌سازی تابع مخلوط‌ساز سنتونی استفاده کردیم. درواقع وجود عملگر شرطی در ساختار برنامه می‌تواند باعث ایجاد تفاوت قابل کشف در شکل موج توان توسط *SPA* شود. به‌عنوان پیشنهادی برای مقابله با این حمله، می‌توان ساختار شرطی برای محاسبه '*XTime*' که درواقع همان عمل ضرب یک بایت در ' 2 ' در ' $^{GF(2^8)}$ ' است را کنار گذاشت و بهجای آن از جدول جستجو¹ برای بافتمن این حاصل ضرب استفاده کنیم. بدین ترتیب در هنگام پیاده‌سازی مخلوط‌ساز سنتونی، در موقعی که لازم است حاصل ضرب یک بایت در ' 2 ' را بدانیم، کافی است با توجه به بایت مورد نظر، مقدار متناظر با آن را از جدول جستجو فراخوانی کرده و ادامه برنامه را پیگیری کنیم. از آنجاکه هر بایت شامل ۲۵۶ حالت است، جدول جستجو نیز شامل ۲۵۶ حاصل ضرب ممکن برای ضرب یک بایت داده در ' 2 ' به‌صورت ضرب چندجمله‌ای‌های باینری به پیمانه $GF(2^8)$ $X^8+X^4+X^3+X+1$ روی خواهد بود.

¹Look-up Table



حامد یوسفی در سال ۱۳۸۸ مدرک کارشناسی خود را در رشته مهندسی برق گرایش الکترونیک از دانشگاه شهرکرد دریافت کرد و مدرک کارشناسی ارشد خود را در رشته مهندسی مخابرات گرایش رمز از دانشگاه جامع امام حسین(ع) در سال ۱۳۹۰ دریافت نمود. زمینه‌های مورد علاقه وی امنیت سخت‌افزاری و سامانه‌های تعبیه شده است. نشانی رایانامه ایشان عبارتست از:

h.yusefi@rcisp.com



محمود گردشی کارشناسی خود را از دانشگاه شیراز، کارشناسی ارشد را از دانشگاه تبریز و دانشوری را از دانشگاه امیرکبیر به ترتیب در سال‌های ۱۳۶۸، ۱۳۷۰ و ۱۳۷۸ اخذ نموده‌اند و در حال حاضر عضو هیئت علمی دانشگاه جامع امام حسین(ع) هستند. زمینه مورد علاقه وی پروتکل‌های رمزگاری و سامانه‌های کلید عمومی است.

نشانی رایانامه ایشان عبارتست از:

mgardeshi2000@yahoo.com



محمد سبزی نژاد فراش درجه کارشناسی خود را در رشته مهندسی برق گرایش الکترونیک از دانشکده فنی شهید چمران کرمان در سال ۱۳۸۵ دریافت نمود. او درجه کارشناسی ارشد را در رشته مهندسی مخابرات رمز از دانشگاه جامع امام حسین(ع) در سال ۱۳۸۷ اخذ نمود. او از سال ۱۳۸۸ تا کنون دانشجوی دکتری ریاضیات رمز دانشکده علوم ریاضی و کامپیوتر دانشگاه تربیت معلم می‌باشد. پروتکل‌های رمزگاری، مدل‌های اثبات امنیتی، امنیت شبکه و امنیت سخت‌افزاری از جمله علاقمندی‌های تحقیقاتی وی است.

نشانی رایانامه ایشان عبارتست از:

sabzinejad@tmu.ac.ir

Kocher, P., Jaffe, J., Jun, B., 1999. "Differential Power Analysis," CRYPTO'99, 19th Annual International Cryptology Conference, Santa Barbara, California, USA, August 15-19, 1999, LNCS1666, pages 388-397, Springer.

Mangard, S., 2003. A Simple Power-Analysis (SPA) Attack on Implementations of the AES Key Expansion, Springer-Verlag Berlin Heidelberg.

Mangard, S., 2004. Securing Implementations of Block Ciphers against Side-Channel Attacks, Ph.D. Thesis, Institute for Applied Information Processing and Communications (IAIK), Graz University of Technology, Austria.

Mangard, S., Oswald, E., Popp, T., 2007. Power Analysis Attacks-Revealing the Secrets of Smart Cards, Springer Science+Business Media.

Masoomi, M., Masoumi, M., Ahmadian, M., 2010 "A Practical Differential Power Analysis Attack against an FPGA Implementation of AES Cryptosystem," IEEE International Conference on Information Society (I-Society 2010), United Kingdom, London, 28-30 June.

Microchip Technology Inc, 2007. PI C18F 245 5/25 50/4455/4550 Data Sheet.

NIST. 2001. ADVANCED ENCRYPTION STANDARD (AES), Federal Information Processing Standards Publication 197, November 26.

Quisquater, J. J., Samyde, D., 2001. "ElectroMagnetic Analysis (EMA): Measures and Counter-Measures for Smart Cards," International Conference on Research in Smart Cards, E-smart 2001, Cannes, France, September 19-21, 2001, Proceedings, LNC-S2140 , pages 200-210. Springer.

RIGOL Technologies Inc, 2009. RIGOL Programming Guide DS1000CA Series Digital Oscilloscope.

Samyde, D., Skorobogatov, S., Anderson, R., Quisquater, J., 2002. On a New Way to Read Data from Memory. In IEEE Security in Storage Workshop (SISW'02), IEEE Computer Society, pp. 65-69.

Schmidt, J., Kim, C.H., 2009. "A Probing Attack on AES", WISA 2008, LNCS 5379, Springer-Verlag Berlin Heidelberg, pp. 256-265.

Skorobogatov, S., Anderson, R., 2003. "Optical Fault Induction Attacks," CHES '02 Revised Papers from the 4th International Workshop on Cryptographic Hardware and Embedded Systems, LNCS2523, pages 2-12. Springer.

Skorobogatov, S., 2005. Semi-invasive attacks - A new approach to hardware security analysis. PhD thesis, University of Cambridge, Available online at <http://www.cl.cam.ac.uk/TechReports/>.

Whelan, C., Tunstall, M., Choukri, H., Naccache, D., Bar-El, H., 2006. "The Sorcerer's Apprentice Guide to Fault Attacks," Proceedings of the IEEE, Special Issue on Cryptography and Security, Volume 96, Number 2, pages 370-382.

فصل نهم

